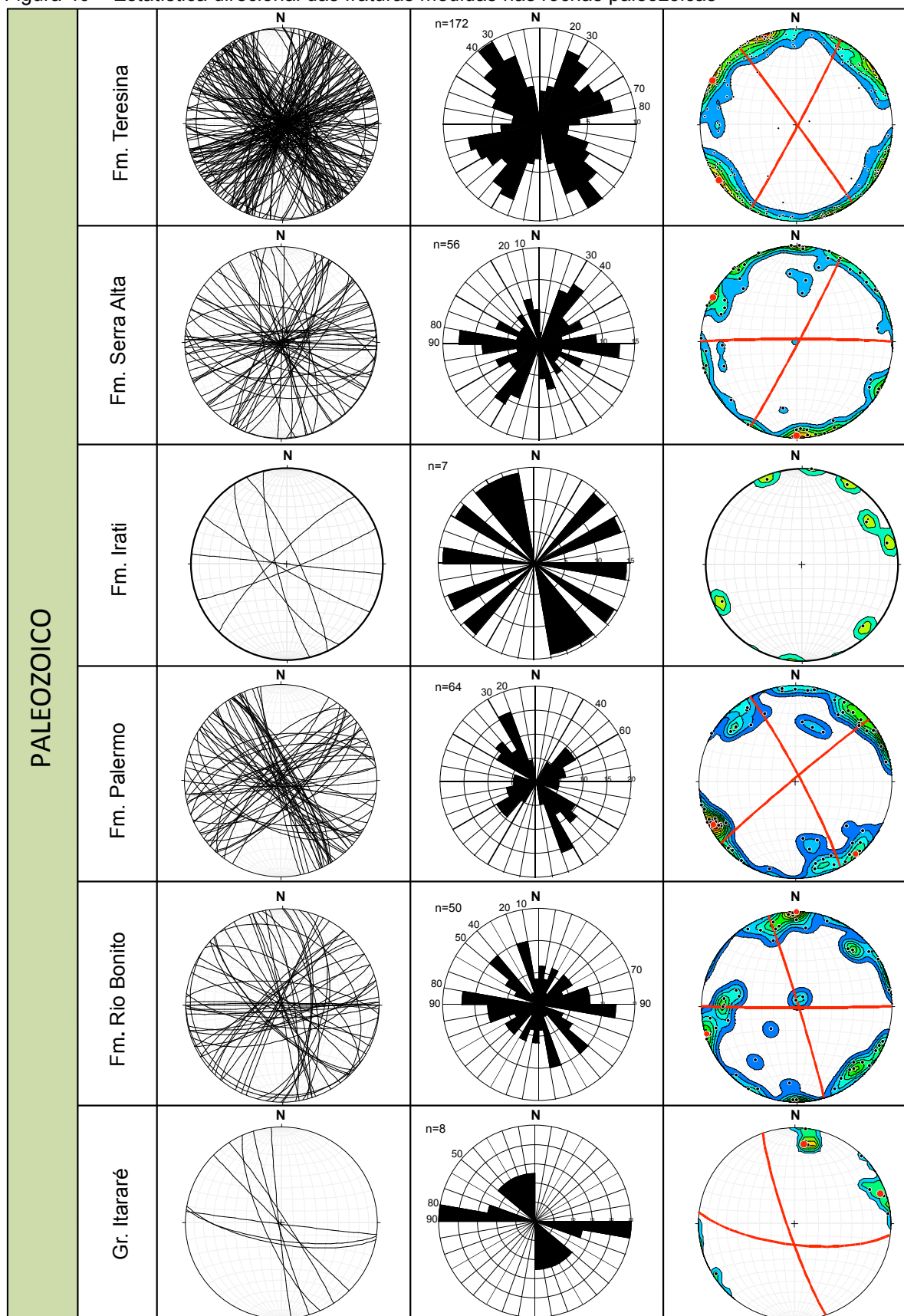
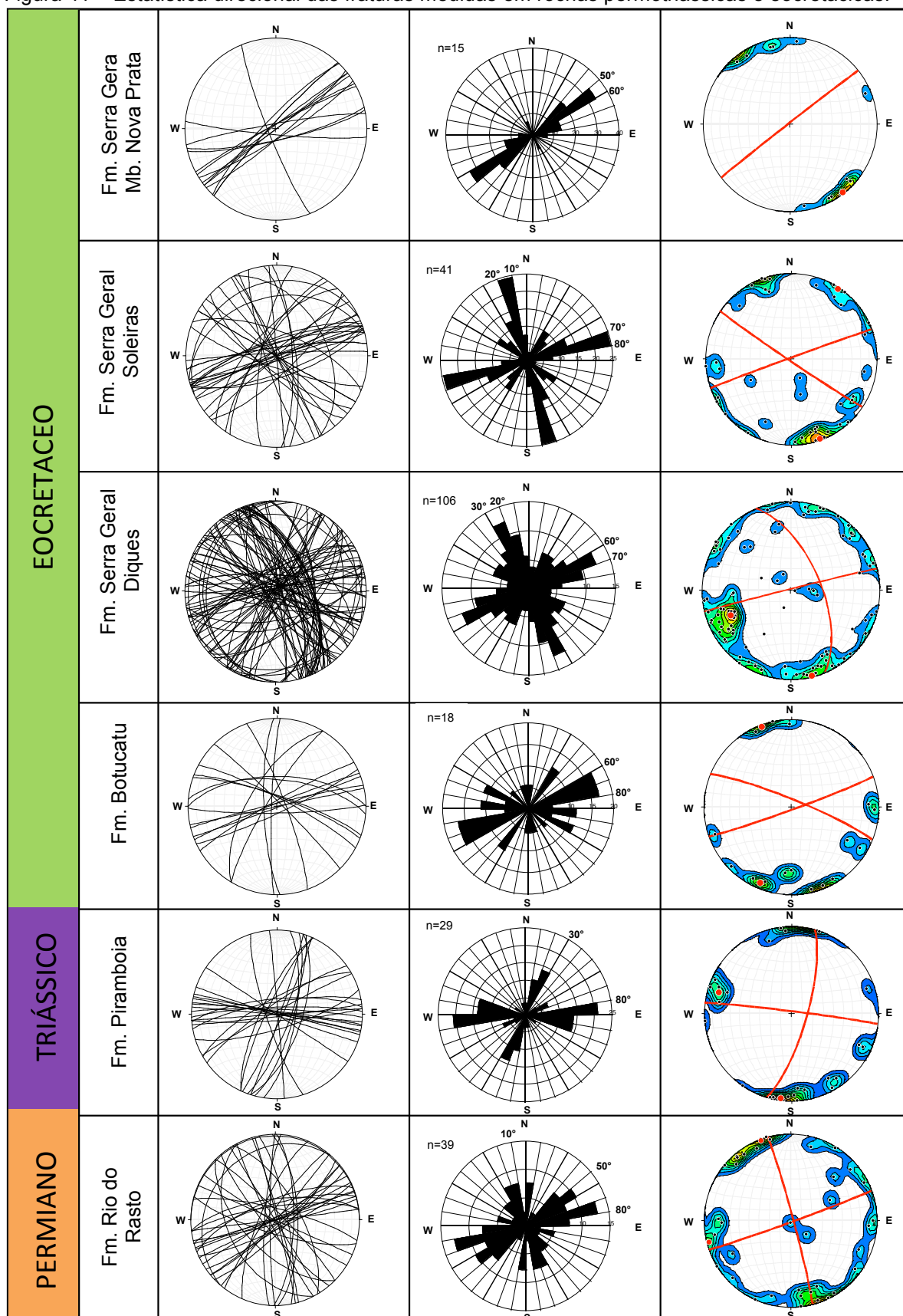


Figura 40 – Estatística direcional das fraturas medidas nas rochas paleozoicas



Fonte: O autor, 2017.

Figura 41 – Estatística direcional das fraturas medidas em rochas permotriássicas e eocretácicas.



Fonte: O autor, 2017.